

大阪市立大学工学部 正員 山田 優  
” 三瀬 貞

既設舗装の修繕の時期、優先順位、工法などを考慮する際、その時長での舗装のサービス性能だけではなく、以後の変化、修繕工法の効果などの予測が必要となる。以下、現在の舗装構造設計法の根拠となった AASHTO 道路試験の結果を応用して、残余寿命の予測式を誘導してみた。

1. 残余寿命  $W_r$  と舗装の品質評価指標  $W_c$  および  $\alpha^*$  の定義

いま、 $\gamma$  の時長での累積交通量並びにその舗装の全寿命と残余寿命を、ある定めた大きさの軸荷重の通過数で表し、それを  $W$ 、 $W_c$ 、 $W_r$  とするとしておく。(図-1) すなはち、 $W_r = W_c - W$  ----- (1)

舗装の寿命  $W_r$  は、設計時に予測された寿命  $W_r^*$  と必ずしも一致せず、逆らへて舗装の品質に従って変動する。二の差を  $\Delta W_r = W_r - W_r^*$  ----- (2)

$PSI$  の低下とともにアスファルト舗装の破壊を、いじわる破壊にあだて換算破壊で代表させ、舗装の品質を、いじわる発生する軸荷重通過数  $W_c$  にあだて換算進行速度指數  $\alpha^*$  で評価することとする。 $\alpha^*$  は、あだて換算深さ  $RD$  (cm) が  $\sqrt{W}$  に比例して増加すると仮定して、 $\alpha = \sqrt{W} / RD$  ----- (3) と定義する。

$W_c$  と  $\alpha$  設計時の予測値を  $W_c^*$  および  $\alpha^*$  とし、 $\Delta W_c = W_c - W_c^*$  ----- (4),  $\Delta \alpha = \alpha - \alpha^*$  ----- (5) とするとき、(2) 式の  $\Delta W_r$  が  $\Delta W_c$  と  $\Delta \alpha$  にそれぞれ比例して変化すると仮定すると、 $a_0, a_1, a_2$  を定数とすれば、

$$\Delta W_r = a_0 + a_1 \Delta W_c + a_2 \Delta \alpha \quad \text{----- (6)} \quad \text{と書くことができる。}$$

2.  $W_c$  と  $\alpha$  から  $W_r$  を予測する式

図-1 の  $PSI$  の限界値を上とすると、 $W_c^*$  は、AASHTO 道路試験で導いた回帰式又はその式を応用して求めた舗装要綱付録5の設計式を使へて計算することができます。

$W_c^*$  は、AASHTO 道路試験の回帰式が使える。同試験は比較的の早期に破壊してオーバーレイを施された 99 の舗装区間ににおける  $W_r$  と  $\Delta W_c$  を計算し、その関係を求めると、図-2 のようになる。

AASHTO 道路試験では、あだて換算の予測法について検討していないが、99 の舗装区間のうち、 $P=1.5$  となる 2 の軸荷重通過数が、同試験で得た予測式による計算値  $\alpha^*$  の 0.2 ~ 1.2 倍の範囲に入り、この区間を標準的品質として舗装の区間と考えて、それらの区間のデータから、次の回帰式を得る。(図-3)  

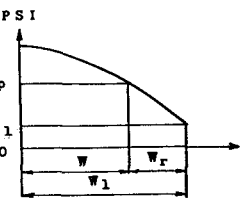
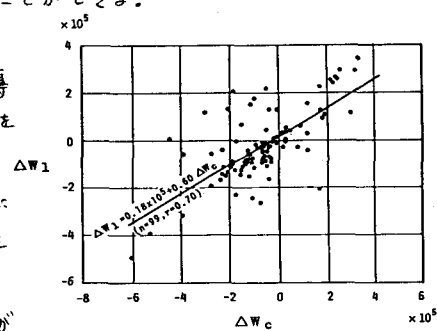
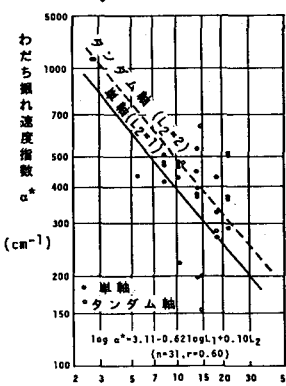
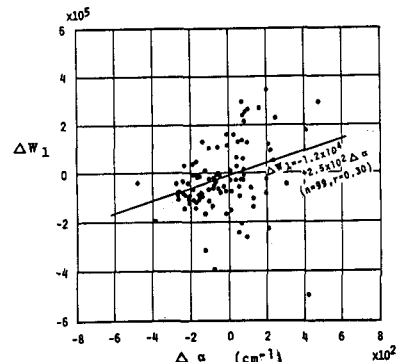
$$\log \alpha^* = 3.11 - 0.62 \log L_1 + 0.10 L_2 \quad \text{----- (7)}$$

式(7)を使へて計算された  $\Delta \alpha$  と  $\Delta W_c$  の関係 ( $cm^{-1}$ ) は、99 の舗装区間にについて、図-4 のようになる。

$\beta = 2$ 、式(6)を表すと仮定して回帰分析すると、次式を得る。 $(n=99, r=0.71)$

$$\Delta W_r = 0.21 \times 10^5 + 0.57 \Delta W_c + 1.3 \times 10^3 \Delta \alpha \quad \text{----- (8)}$$

式(8)における  $\Delta \alpha$  の寄与率は小さく  $2\%$  、変

図-1 残余寿命( $W_r$ )図-2  $\Delta W_r$  と  $\Delta W_c$  の関係図-3 標準的品質の舗装における  
あだて換算速度指數と軸荷重の関係  
(AASHTO 道路試験)図-4  $\Delta W_r$  と  $\Delta \alpha$  の関係

数を  $\Delta W_c$  の 1 つだけにしても精度はあまり変わらない。このとき、固帰式は次のようになる。

$$\Delta W_c = 0.18 \times 10^5 + 0.60 \Delta W_e \quad \cdots \cdots \cdots (P) \quad (n=99, r=0.70)$$

$$W_r = \Delta W_c \text{ が計算できれば、式 (1), (2) から } W_r \text{ を求めることはできる。} \quad W_r = W_e^* + \Delta W_e - \Delta W \quad \cdots \cdots \cdots (Q)$$

3. ひびわれ率  $\bar{C}_P$  とわだら離れ深さ  $\bar{R}_D$  から  $W_r$  を予測する式

$\Delta W_c$  と  $\Delta X$  は、路面の追跡調査から知ることができるが、通常、その時見への路面性状が調査しきれない場合が多い。その場合、その時見のひびわれ率  $\bar{C}_P$  とわだら離れ深さ  $\bar{R}_D$  から  $W_r$  を予測せねばならない。

$\bar{C}_P$  と  $W_c$  を推定することは、 $\bar{C}_P$  と  $W_c$  の関係を知ることによって可能となるが、これ子供のいくつせの追跡調査結果から、必ず必要と考える  $\bar{C}_P$  の範囲(数% ~ 数10%)においては、 $\bar{C}_P$  が  $W_c$  とともに直線的に増加すると考えることができる。例えば、図-5は、神戸市での調査例であるが、(左)は、

$$\text{そのように近似できま。} \quad \bar{C}_P = \lambda (W - W_c) \quad \cdots \cdots \cdots (1)$$

$$\text{と仮定する。ただし, } \bar{C}_P = \frac{\text{ひびわれ面積+パンチ面積}}{\text{調査面積}} \times 100 (\%) \quad \lambda = \text{比例定数},$$

さらに、舗装の品質の変動に伴って、 $W_c$  は変化すみが、入出庫構造によつて変走すまると考え、同じ構造をもつ標準的品質の舗装、すなわち  $W_c = W_e^*$  となる舗装における入出庫走行等しいと仮定する。

式 (7) を求めたと同じ式 (1) は標準的品質に与えられる舗装凹間に

ついて、入出庫との関係をアプロットすると、図-6のようになり、より相関を示す。これが両対数で直線として固帰する、次式を得る。 $\log \lambda = 6.65 - 1.96 \log W_e^* \quad \cdots \cdots \cdots (2)$  ( $n=31, r=0.89$ )

式 (4) と (1) から、軸荷重通過数  $W$  のとき、ひびわれ率が  $\bar{C}_P > 0$  である舗装へ  $\Delta W_c$  の推定式として次式を得る。 $\Delta W_c = W - 2.24 \times 10^7 W_e^*^{1.96} \bar{C}_P - W_e^* \quad \cdots \cdots \cdots (3)$

一方、軸荷重通過数  $W$  のとき、わだら離れ深さが  $\bar{R}_D$  である舗装へ  $\Delta W_c$  の推定式として次式を得る。 $\Delta W_c = W - 2.24 \times 10^7 W_e^*^{1.96} \bar{C}_P - W_e^* \quad \cdots \cdots \cdots (4)$

式 (3) と (4) 又は (9) に代入して、 $\Delta W_c$  を求め、式 (10) に代入すると、 $W_r$  の予測式を得る。

$$W_r = 0.2 \times 10^5 + W_e^* - 0.57 W_e^* - 1.3 \times 10^7 W_e^* + 0.43 W - 1.3 \times 10^7 W_e^* \bar{C}_P + 1.3 \times 10^2 \frac{W}{\bar{R}_D} \quad \cdots \cdots \cdots (5)$$

$$W_r = 0.18 \times 10^5 + W_e^* - 0.60 W_e^* - 0.40 W - 1.3 \times 10^7 W_e^* \bar{C}_P \quad \cdots \cdots \cdots (6)$$

ただし、 $\bar{R}_D$  の寄与率は小さいので、実際には、式 (6) が十分である。

要綱に従い構造設計した舗装の残余寿命予測式を、式 (6) の場合について、具体的に求めることと、表-1 へようになる。表には、1 年当りの軸荷重通過数を  $10^5$  として、残余寿命と累積軸荷重通過数を年数に換算して予測式も示す。

4. まとめ 以上、かなり大胆な仮定に基づいていながら、残余寿命の予測式を説明して示した。残余寿命は、修繕計画に当つての重要な判断材料と考えられる。実際の道路での修繕計画の実状と照らし合わせれば、予測式の有効性について検討することができる。

(参考文献) 1) H.R.B.: The AASHTO Road Test, Report 5, HRB 5R 61E, 1962.

表-1 式 (6) の具体例 (下記舗装構造の舗装断面の  $T_A$  と表基準厚へ規定を満足しない)

交通区分	軸荷重 C L (t)	設計 C B R	上層 舗装 厚 $D_1$ (cm)	中層 舗装 厚 $D_2$ (cm)	下層 舗装 厚 $D_3$ (cm)	切削 部 寸 度 指 標 數 $D_4$ (cm)	舗 装 厚 $D_5$ (cm)	ひ び わ れ 率 $\bar{C}_P$ (%)	予 測 時 期 間 W (年)	設 計 時 期 間 W_e (年)	残余寿命予測式	
											軸荷重通過数 $W$ とひびわれ率 $\bar{C}_P$ から残余寿命 $W_r$ (軸荷重通過数) を予測	経過年数 $y$ とひびわれ率 $\bar{C}_P$ から残余寿命 $W_r$ (年) を予測
L	4	3	5	15	20	2.55	1.85	9.7 × 10 <sup>5</sup>	4.8 × 10 <sup>5</sup>	$W_r = 7.0 \times 10^5 - 0.4 W - 1.8 \times 10^4 \bar{C}_P$	$y_r = 7.0 - 0.4y - 0.18 \bar{C}_P$	
A	6	3	5	20	30	3.26	2.25	9.6 × 10 <sup>5</sup>	4.8 × 10 <sup>5</sup>	$W_r = 6.9 \times 10^5 - 0.4 W - 1.8 \times 10^4 \bar{C}_P$	$y_r = 6.9 - 0.4y - 0.18 \bar{C}_P$	
B	10	3	10	25	30	4.40	3.20	9.7 × 10 <sup>5</sup>	4.5 × 10 <sup>5</sup>	$W_r = 6.6 \times 10^5 - 0.4 W - 2.3 \times 10^4 \bar{C}_P$	$y_r = 6.6 - 0.4y - 0.23 \bar{C}_P$	
C	16	3	15	40	25	5.87	4.30	11.1 × 10 <sup>5</sup>	7.2 × 10 <sup>5</sup>	$W_r = 7.0 \times 10^5 - 0.4 W - 3.9 \times 10^4 \bar{C}_P$	$y_r = 7.0 - 0.4y - 0.39 \bar{C}_P$	
D	24	3	20	50	30	7.50	5.50	12.8 × 10 <sup>5</sup>	9.2 × 10 <sup>5</sup>	$W_r = 7.5 \times 10^5 - 0.4 W - 6.4 \times 10^4 \bar{C}_P$	$y_r = 7.5 - 0.4y - 0.64 \bar{C}_P$	

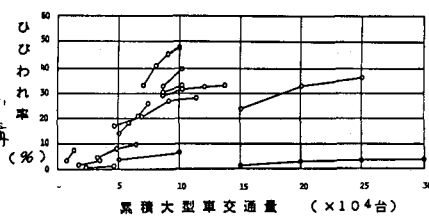


図-5 ひびわれ率と累積大型車交通量  
(神戸市内の道路調査)

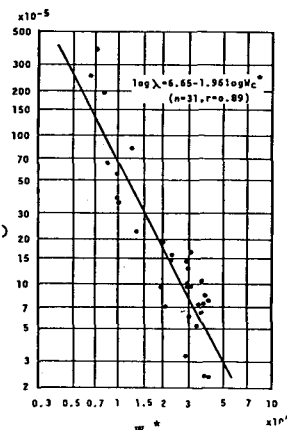


図-6 標準的品質の係数にありのひびわれ進行速度入と  $W_e^*$  への関係  
(AASHO 道路調査)